

## 第五章 例题

例 5-1 一非线性器件的伏安特性为

$$i = 1 + 2u + 2u^2$$

式中,  $u = u_1 + u_2 + u_3 = U_1 \cos \omega_1 t + U_2 \cos \omega_2 t + U_3 \cos \omega_3 t$ ,  $\omega_1$ 、 $\omega_2$ 、 $\omega_3$  分别为  $2\pi \times 10^3 \text{ rad/s}$ 、 $3\pi \times 10^3 \text{ rad/s}$ 、 $4\pi \times 10^3 \text{ rad/s}$ 。试求出电流  $i$  中的频率分量。

题意分析: 题中给出了一个电流与电压的非线性函数, 为一个二阶的多项式, 输入信号为三个频率的信号之和。由于伏安特性为非线性特性, 因此输入信号的三个分量将在非线性特性的作用下产生组合分量。将输入信号  $u$  代入非线性特性中, 展开成单一频率分量之和, 就可以求出电流  $i$  中的频率分量及其振幅。可以预见, 由于是一个二阶的非线性特性,  $i$  中的频率分量应包括  $\omega_1$ 、 $\omega_2$ 、 $\omega_3$  的不超过二阶的组合。

解: 将  $u$  代入非线性特性中, 把平方项展开, 有

$$\begin{aligned} i &= 1 + 2u + 2u^2 \\ &= 1 + 2(u_1 + u_2 + u_3) + 2(u_1 + u_2 + u_3)^2 \\ &= 1 + 2u_1 + 2u_2 + 2u_3 + 2u_1^2 + 2u_2^2 + 2u_3^2 + 4u_1u_2 + 4u_1u_3 + 4u_2u_3 \end{aligned}$$

将  $u = u_1 + u_2 + u_3 = U_1 \cos \omega_1 t + U_2 \cos \omega_2 t + U_3 \cos \omega_3 t$  代入上式, 有

$$\begin{aligned} i &= 1 + 2U_1 \cos \omega_1 t + 2U_2 \cos \omega_2 t + 2U_3 \cos \omega_3 t + 2(U_1 \cos \omega_1 t)^2 \\ &\quad + 2(U_2 \cos \omega_2 t)^2 + 2(U_3 \cos \omega_3 t)^2 + 4U_1 \cos \omega_1 t U_2 \cos \omega_2 t \\ &\quad + 4U_1 \cos \omega_1 t U_3 \cos \omega_3 t + 4U_2 \cos \omega_2 t U_3 \cos \omega_3 t \\ &= 1 + 2U_1 \cos \omega_1 t + 2U_2 \cos \omega_2 t + 2U_3 \cos \omega_3 t + U_1^2 + U_1^2 \cos 2\omega_1 t \\ &\quad + U_2^2 + U_2^2 \cos 2\omega_2 t + U_3^2 + U_3^2 \cos 2\omega_3 t + 2U_1 U_2 \cos(\omega_1 - \omega_2)t \\ &\quad + 2U_1 U_2 \cos(\omega_1 + \omega_2)t + 2U_1 U_3 \cos(\omega_1 - \omega_3)t + 2U_1 U_3 \cos(\omega_1 + \omega_3)t \\ &\quad + 2U_2 U_3 \cos(\omega_2 - \omega_3)t + 2U_2 U_3 \cos(\omega_2 + \omega_3)t \end{aligned}$$

由此可见, 电流  $i$  中的频率分量有: 直流分量 (振幅为  $1 + U_1^2 + U_2^2 + U_3^2$ ); 输入信号三个分量  $\omega_1$ 、 $\omega_2$ 、 $\omega_3$  (振幅为  $2U_1$ 、 $2U_2$ 、 $2U_3$ ); 输入信号三个分量  $\omega_1$ 、 $\omega_2$ 、 $\omega_3$  的六个二阶组合分量  $\omega_1$

+  $\omega_2$ 、 $\omega_1 - \omega_2$ 、 $\omega_1 + \omega_3$ 、 $\omega_1 - \omega_3$ 、 $\omega_2 + \omega_3$  和  $\omega_2 - \omega_3$ （振幅分别为  $2U_1U_2$ 、 $2U_1U_2$ 、 $2U_1U_3$ 、 $2U_1U_3$ 、 $2U_2U_3$ 、 $2U_2U_3$ ）。因此，将输入信号的频率值代入，电流  $i$  中的频率分量包括：由非线性特性直流项产生的直流分量；由非线性一次项产生的分量 1KHz、1.5KHz、2KHz；由非线性特性平方项产生的直流、0.5KHz、1KHz、1.5KHz、2KHz、2.5KHz、3KHz、3.5KHz、4KHz。

**讨论：**分析非线性系统时，一般采用级数展开的方法进行分析，也可在此基础上将其转换成线性时变特性进行分析。本题中给出了非线性特性，输入信号为三个频率的信号，因此必然会产生出输入信号以外的其他组合分量。由于特性为二阶的，因此产生的组合分量最高为二阶的。从产生的组合分量来看，由平方项产生的组合分量组合出了输入信号的频率分量，由后面的内容可知，这些频率分量若反作用于非线性器件，对频谱的线性搬移的性能是会有影响的。

**例 5 - 2** 二极管平衡电路如图 P5-1， $u_1$  及  $u_2$  的注入位置如图所示，图中， $u_1=U_1\cos\omega_1t$ ， $u_2=U_2\cos\omega_2t$ ，且  $U_2 \gg U_1$ 。求输出电流  $i$  的表示式。

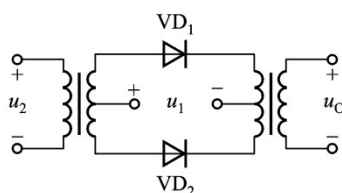


图 P5 - 1 二极管平衡电路

**题意分析：**这是一个二极管平衡电路，由于控制电压  $u_2$  的位置变化，两个二极管的通断控制就可能发生变化。此时，加到两个二极管的电压分别为  $u_{D1}=u_1+u_2$  和  $u_{D2}=u_1-u_2$ ，控制电压  $u_2$  正向地加到上边支路的二极管上，反向地加到下边支路的二极管上，因此，两个二极管的通断在控制电压  $u_2$  的作用下交替进行，即  $u_2>0$  时，上边支路的二极管导通，下边支路的二极管截止；当  $u_2<0$  时，上边支路的二极管截止，下边支路的二极管导通。这样，上边支路二极管的时变电导为  $g_0K(\omega_2t)$ ，下边支路二极管的时变电导为  $g_0K(\omega_2t - \pi)$ 。由于流过两个二极管的电流方向相反的，输出电流  $i=i_1-i_2$ 。

将  $i_1$  和  $i_2$  代入  $i$  中，就可求出输出电路  $i$  的表达式及其中的频率分量。

**解：**首先表明加到两个二极管上的电压和流过二极管的电流的正方向，一般按实际方向标正方向。因此加到两个二极管的电压分别为

$$u_{D1}=u_1+u_2$$

和  $u_{D2}=u_1-u_2$

则流过两个二极管的电流为

$$i_1 = g_D K(\omega_2 t) u_{D1}$$

$$\text{和 } i_2 = g_D K(\omega_2 t - \pi) u_{D2}$$

由于两个二极管的电流在输出变压器中的流动方向是一致的，在输出变压器中产生的磁通是相助的，因而反应在输出电流中，两个电流是相加的，即

$$\begin{aligned} i &= i_1 - i_2 = g_D K(\omega_2 t) u_{D1} - g_D K(\omega_2 t - \pi) u_{D2} \\ &= g_D K(\omega_2 t) (u_1 + u_2) - g_D K(\omega_2 t - \pi) (u_1 - u_2) \\ &= g_D [K(\omega_2 t) + K(\omega_2 t - \pi)] u_2 + g_D [K(\omega_2 t) - K(\omega_2 t - \pi)] u_1 \\ &= g_D u_2 + g_D K'(\omega_2 t) u_1 \\ &= g_D U_2 \cos \omega_2 t + g_D \left( \frac{4}{\pi} \cos \omega_2 t - \frac{4}{3\pi} \cos 3\omega_2 t + \frac{4}{5\pi} \cos 5\omega_2 t - \dots \right) U_1 \cos \omega_1 t \end{aligned}$$

由此可见，输出电流  $i$  中的频率分量有：直流、 $\omega_2$ 、 $2n\omega_2 \pm \omega_1$  ( $n=1, 2, 3, \dots$ )。与图 5-6 所示的二极管平衡电路相比较，图 5-6 所示的二极管平衡电路输出电流中的频率分量为  $\omega_1$ 、 $(2n-1)\omega_2 \pm \omega_1$  ( $n=1, 2, 3, \dots$ )，因此本题中的电路的输出电流中增加了  $\omega_2$  分量，没有  $\omega_1$  分量，可以完成频谱的线性搬移功能。

**例 5-3** 试推导出图 P5-2 所示双差分电路单端输出时的输出电压表示式。

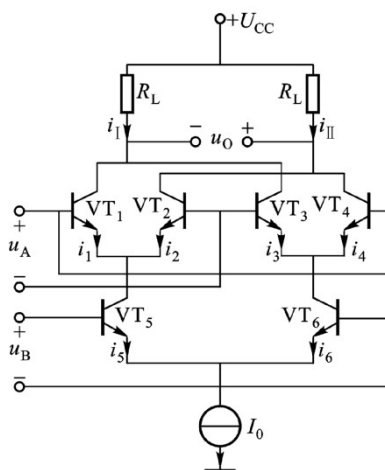


图 P5-2

题意分析：差分对输出有两种形式：双端输出与单端输出。教材中分析的是双端输出的情况，单端输出与双端输出的结果是否相同，本题就是分析这个问题。分析的方法与教材中的

分析方法相同，但要注意的是单端输出时，输出电压是相对于地的电压。如从右边的电阻  $R_L$  的下端输出，其输出电压  $u_0 = E_c - i_{\Pi} R_L$ ，只要求出  $i_{\Pi}$ ，代入式中，就可得出结论。

**解：**图 P5-3 为双差分对电路，从右边的电阻  $R_L$  的下端输出，则输出电压  $u_0 = E_c - i_{\Pi} R_L$ 。求出  $i_{\Pi}$  后，就可得到输出电压。由图中可以看出， $i_{\Pi} = i_2 + i_4$ ， $i_2$  是由  $V_1$ 、 $V_2$  组成的单差分对的单端输出电流， $i_4$  是由  $V_3$ 、 $V_4$  组成的单差分对的单端输出电流，输入电压  $u_A$  正向加到  $V_4$ ，反向加到  $V_2$ ，由单差分对电路的分析可知

$$i_2 = \frac{i_5}{2} - \frac{i_5}{2} \tanh\left(\frac{u_A}{2V_T}\right)$$

$$i_4 = \frac{i_6}{2} + \frac{i_6}{2} \tanh\left(\frac{u_A}{2V_T}\right)$$

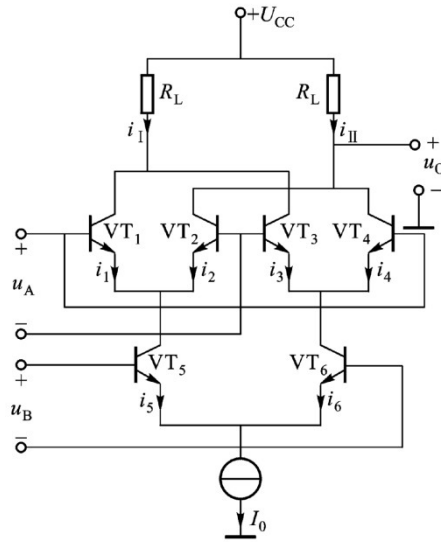


图 P5-3 双差分对电路（单端输出）

这里， $i_5$  和  $i_6$  分别是两个差分对的恒流源。由此可得

$$i_{\Pi} = i_2 + i_4 = \frac{1}{2}(i_5 + i_6) - \frac{1}{2}(i_5 - i_6) \tanh\left(\frac{u_A}{2V_T}\right)$$

$$= \frac{I_0}{2} - \frac{I_0}{2} \tanh\left(\frac{u_A}{2V_T}\right) \tanh\left(\frac{u_B}{2V_T}\right)$$

由此可见，双差分对在单端输出时，可以得出与单差分对（式（5-22））类似的结果。

将  $i_{\Pi}$  代入  $u_0 = E_c - i_{\Pi} R_L$  中，可得

$$\begin{aligned}
 u_0 &= E_c - i_{\Pi} R_L \\
 &= E_c - \frac{I_0}{2} R_L + \frac{I_0}{2} R_L \tanh\left(\frac{u_A}{2V_T}\right) \tanh\left(\frac{u_B}{2V_T}\right)
 \end{aligned}$$

当  $u_A$  和  $u_B$  的幅度均小于 26mV 时，有

$$u_0 = E_c - \frac{I_0}{2} R_L + \frac{I_0}{2} \frac{1}{4V_T^2} u_A u_B$$

由于  $u_0$  中有直流分量，还不是一个理想乘法器（隔直后为一理想乘法器），它可以完成频谱的线性搬移功能。

**讨论：**差分对电路有两种形式，单差分对电路和双差分对电路，这两种电路均可用于频谱的线性搬移，其输出方式可以双端输出，也可单端输出，但两种输出的结果是不相同的。两种输出均有其各自的优缺点：单差分对电路双端输出可以抑制共模干扰，但输出不是对地，还需进行双——单变换；单端输出直接对地，但不能有效抑制共模干扰。双差分对双端输出时，可等效一理想乘法器，但要进行双——单变换；而单端输出直接对地，但不能等效为理想乘法器，且输出幅度是双端输出的一半。由第六章的分析可知，单差分对完成频谱的线性搬移与两个输入信号的位置有关，而双差分对与两个输入信号的位置无关。

这里分析的是双差分对的单端输出时的输出表达式，读者也可按此思路分析单差分对电路单端输出的结果。

**例 5 - 4** 图 P5-4 所示二极管平衡电路，输入信号  $u_1 = U_1 \cos \omega_1 t$ ， $u_2 = U_2 \cos \omega_2 t$ ，且  $\omega_2 \gg \omega_1$ ， $U_2 \gg U_1$ 。输出回路对  $\omega_2$  谐振，谐振阻抗为  $R_0$ ，带宽  $B = 2f_1$  ( $f_1 = \omega_1 / 2\pi$ )。（1）不考虑输出电压的反作用，求输出电压  $u_o$  的表示式；（2）考虑输出电压的反作用，求输出电压的表示式，并与（1）的结果相比较。

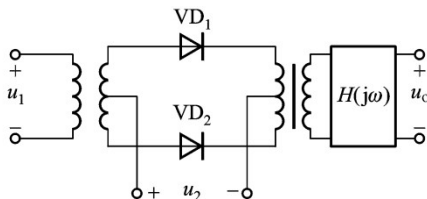


图 P5 - 4 二极管平衡电路

**题意分析：**（1）本题中的二极管平衡电路与教材中的二极管平衡电路是一致的，不同点在于输出端加了一滤波器，并给出了滤波器的特性。分析时，只要求出输出电流，分析输出电流哪些分量能通过输出滤波器，能通过滤波器的分量就可在输出端输出。（2）在二极

管平衡电路的分析中，我们忽略了输出电压  $u_0$  对二极管平衡电路的反作用，其条件是控制信号  $u_2$  的振幅远远大于输入信号  $u_1$  的振幅，即  $U_2 \gg U_1$ ，此条件保证了输出电压远小于控制信号，故可以忽略输出电压对电路的反作用。当考虑输出电压对电路的反作用时，加到二极管两端的电压应为控制电压  $u_2$ 、输入电压  $u_1$  和输出电压  $u_0$ 。此时的输出电压  $u_0$  应是能通过输出滤波器的那些频率分量，可以直接用（1）的结果，不同的是其振幅可能有一些变化。从第六章可知，由于这种频谱的线性搬移是低电平的，因此对其振幅的绝对值不太关心，而关心的是其输出的频率分量，即是否能完成频谱的线性搬移。其分析方法与（1）类似。

**解：**（1）加到二极管两端的电压为

$$u_{D1} = u_1 + u_2$$

$u_{D2} = -u_1 + u_2$  与教材中的输入方式是完全相同的，因此在输出变压器的次级的电流（不考虑滤波器）为

$$\begin{aligned} i &= 2g_D K(\omega_2 t) u_1 \\ &= 2g_D \left( \frac{1}{2} + \frac{2}{\pi} \cos \omega_2 t - \frac{2}{3\pi} \cos 3\omega_2 t + \frac{2}{5\pi} \cos 5\omega_2 t - \dots \right) U_1 \cos \omega_1 t \\ &= g_D U_1 \cos \omega_1 t + \frac{4}{\pi} g_D U_1 \cos \omega_1 t \cos \omega_2 t - \frac{4}{3\pi} g_D U_1 \cos \omega_1 t \cos 3\omega_2 t \\ &\quad + \frac{4}{5\pi} g_D U_1 \cos \omega_1 t \cos 5\omega_2 t - \dots \end{aligned}$$

由于输出滤波器的中心频率为  $f_2 (= \omega_2 / 2\pi)$ ，带宽  $B = 2f_1$  ( $f_1 = \omega_1 / 2\pi$ )，在输出  $i$  电流中只有第二项可以输出，其他分量被滤除，因此输出电压为

$$u_0 = \frac{4}{\pi} R_L g_D U_1 \cos \omega_1 t \cos \omega_2 t = U_0 \cos \omega_1 t \cos \omega_2 t$$

式中  $R_L$  为输出滤波器的等效阻抗。

（2）当考虑输出电压的反作用时，加到两个二极管上的电压为

$$\begin{aligned} u_{D1} &= u_1 + u_2 - u_0' \\ u_{D2} &= -u_1 + u_2 + u_0' \end{aligned}$$

$u_0'$  是输出变压器次级两端的电压，与  $u_0$  不同的是其振幅。由于控制电压  $u_2$  的振幅远大于输入电压  $u_1$  和输出电压  $u_0'$ ，因此控制电压  $u_2$  决定了二极管的通断，开关函数与（1）相同，则流过两个二极管的电流为

$$i_1 = g_D k(\omega_2 t) u_{D1} = g_D K(\omega_2 t)(u_1 + u_2 - u'_0)$$

$$i_2 = g_D k(\omega_2 t) u_{D2} = g_D K(\omega_2 t)(-u_1 + u_2 + u'_0)$$

输出变压器次级电流（滤波前）为

$$\begin{aligned}
 i &= i_1 - i_2 = 2g_D K(\omega_2 t)(u_1 - u'_0) \\
 &= 2g_D \left( \frac{1}{2} + \frac{2}{\pi} \cos \omega_2 t - \frac{2}{3\pi} \cos 3\omega_2 t + \frac{2}{5\pi} \cos 5\omega_2 t - \dots \right) \bullet \\
 &\quad (U_1 \cos \omega_1 t - U'_0 \cos \omega_1 t \cos \omega_2 t) \\
 &= g_D (U_1 \cos \omega_1 t - U'_0 \cos \omega_1 t \cos \omega_2 t) + \frac{4}{\pi} g_D U_1 \cos \omega_1 t \cos \omega_2 t \\
 &\quad - \frac{4}{3\pi} g_D U_1 \cos \omega_1 t \cos 3\omega_2 t + \frac{4}{5\pi} g_D U_1 \cos \omega_1 t \cos 5\omega_2 t - \dots \\
 &\quad - \frac{4}{\pi} g_D U'_0 \cos \omega_1 t \cos^2 \omega_2 t + \frac{4}{3\pi} g_D U'_0 \cos \omega_1 t \cos \omega_2 t \cos 3\omega_2 t \\
 &\quad - \frac{4}{5\pi} g_D U'_0 \cos \omega_1 t \cos \omega_2 t \cos 5\omega_2 t + \dots \\
 &= g_D (U_1 \cos \omega_1 t - U'_0 \cos \omega_1 t \cos \omega_2 t) + \frac{4}{\pi} g_D U_1 \cos \omega_1 t \cos \omega_2 t \\
 &\quad - \frac{4}{3\pi} g_D U_1 \cos \omega_1 t \cos 3\omega_2 t + \frac{4}{5\pi} g_D U_1 \cos \omega_1 t \cos 5\omega_2 t - \dots \\
 &\quad - \frac{2}{\pi} g_D U'_0 \cos \omega_1 t (1 + \cos 2\omega_2 t) + \frac{2}{3\pi} g_D U'_0 \cos \omega_1 t (\cos 2\omega_2 t + \cos 4\omega_2 t) + \dots
 \end{aligned}$$

由上式可以看出，输出变压器次级电流中（滤波前）的频率分量为： $f_1$ 、 $f_2 \pm f_1$ 、 $(2n-1)f_2 \pm f_1$ 、 $2nf_2 \pm f_1 (n=1, 2, 3, \dots)$ 。在输出变压器次级电流  $i$  中，只有  $f_2 \pm f_1$  能通过滤波器在输出端输出，因此输出电压为

$$u_0 = \left( \frac{4}{\pi} U_1 - U'_0 \right) g_D R_L \cos \omega_1 t \cos \omega_2 t$$

与（1）的结果比较，输出电压的频率分量不变，为  $f_2 \pm f_1$ ，变化的只是其振幅，相对（1）的结果，振幅减少。由此可见在分析二极管平衡电路时，忽略输出电压的反作用是合理的，前提是控制电压远远大于输入信号。

**讨论：**高频电路中，合理的近似是非常重要的，因为精确的分析是不可能的，也是不必要的。在分析频谱线性搬移电路时，我们注重的是输出端信号中包含哪些频率分量，这些频率分量中是否包含完成频谱线性搬移所需的频率分量，若包含有所需分量，就可用滤波器将其选出，并抑制掉不需要的其他分量。此时我们还关心能否用滤波器将其他不必要的分量滤除，若除了有用频率分量在滤波器的通带内以外，还有其他的分量在滤波器的通带内，

这些不需要的频率分量就会对有用信号形成干扰，这在第六章中有分析。

例 5-5 场效应管的静态转移特性如图 P5-5 所示，表达式为：

$$i_D = I_{DSS} \left(1 - \frac{u_{GS}}{U_p}\right)^2$$

式中， $u_{GS} = U_{GS} + U_1 \cos \omega_1 t + U_2 \cos \omega_2 t$ ；若  $U_1$  很小，满足线性时变条件。

- (1) 当  $U_2 \leq |U_p - U_{GS}|$ ， $U_{GS} = U_p/2$  时，求时变跨导  $g_m(t)$ ；
- (2) 当  $U_2 \leq |U_p|$ ， $U_{GS} = U_p$  时，求时变跨导  $g_m(t)$ 。

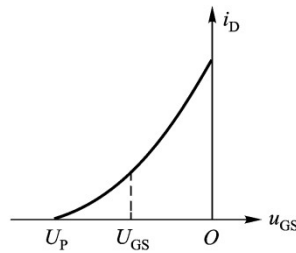


图 P5-5

**题意分析：**该题为场效应管频谱线性搬移电路的分析，由于场效应管大家接触较小，普遍感到比较陌生，实际上它的分析比三极管电路来得简单，这是因为场效应管输出电流与输入电压之间呈现平方关系，而三极管呈现的是指数规律。在第一问中，输入信号在场效应管平方律范围内，可以直接将输入信号代入到转移特性函数中展开，由于题目中告诉了一个信号很小，此时最好的方法是采用线性时变的分析方法。第二问，输入信号的范围超出了平方律范围，不能用转移特性函数展开进行分析了。

解：(1)

$$\begin{aligned} g_m(t) &= g_{m0} \left(1 - \frac{U_{GS}}{U_p}\right) - g_{m0} \frac{U_2}{U_p} \cos \omega_2 t \\ &= \frac{1}{2} g_{m0} - g_{m0} \frac{U_2}{U_p} \cos \omega_2 t \end{aligned}$$

其中  $g_{m0} = 2 \frac{I_{DSS}}{|U_p|}$

$$\begin{aligned} (2) \quad g_m(t) &= \begin{cases} -g_{m0} \frac{U_2}{U_p} \cos \omega_2 t & 2n\pi - \frac{\pi}{2} \leq \omega_2 t < 2n\pi + \frac{\pi}{2} \\ 0 & 2n\pi + \frac{\pi}{2} \leq \omega_2 t \leq 2n\pi + \frac{3\pi}{2} \end{cases} \\ &= -g_{m0} \frac{U_2}{U_p} \cos \omega_2 t K(\omega_2 t) \end{aligned}$$



其中  $g_{m0} = 2 \frac{I_{DSS}}{|U_p|}$

**讨论：**电路形式虽然相同，但由于条件不相同，分析得到的结果不同，但时变跨导中均包含  $\omega_2$  的成分，均可以实现频谱的线性搬移，只是幅度大小不同。另外，由于第二问中输入信号的范围超出了平方律范围，此时实际上将转移特性进行了分段表示，即超出平方律范围的用零表示，清楚了这一点，本题就容易理解了。此题可以更好的帮助大家线性时变电路的分析方法。